

پراکنش و تنوع ژنتیکی جدایه های ویروس تریستزای مرکبات (*citrus tristeza virus*) دراستان کرمان

Distribution and genetic diversity of citrus tristeza virus isolates in Kerman province

سمیه احمدی*، علیرضا افشاریفر**، علی نیازی و کرامت الله ایزدپناه

بخش گیاه‌پزشکی، دانشکده کشاورزی، دانشگاه شیراز و پژوهشکده بیوتکنولوژی دانشگاه
شیراز

دریافت ۸۶/۴/۱۲ پذیرش ۱۳۸۷/۱/۲۸

چکیده

علیرغم گسترش ویروس تریستزا در بعضی مناطق شمالی و جنوبی کشور، اطلاعات چندانی از وضعیت این ویروس در استان کرمان و تنوع ژنتیکی جدایه های آن در دست نمی باشد. در این تحقیق علاوه بر مطالعه پراکنش ویروس تریستزای مرکبات (*Citrus tristeza virus*، CTV) در چهارمنطقه مرکبات خیز استان کرمان شامل جیرفت، بم، حسین آباد، ارزوئیه و حومه، تنوع ژنتیکی جدایه های ویروس مورد بررسی قرار گرفت.

آر.ان.ای کل از پوست ساقه و رگبرگ اصلی برگ مرکبات استخراج و جهت تکثیر دو قطعه از ژنوم CTV (ژن پروتئین پوششی و ناحیه K17 ژن پلیمراز) در نسخه برداری معکوس و سپس واکنش زنجیره ای پلیمراز (PCR) با استفاده از آغازگرهای اختصاصی بکار برد شد. به منظور تعیین پراکنش ویروس در چند منطقه مهم استان کرمان از آزمون الیزا استفاده گردید. بر اساس نتایج بدست آمده از ۲۰۳ نمونه جمع آوری شده از چهار منطقه استان کرمان بیش از نیمی از آن ها به ویروس آلوود بودند. میزان آلوودگی در نمونه های جیرفت، بم، حسین آباد و

* قسمتی از پایان نامه کارشناسی ارشد نگارنده اول ارائه شده به دانشگاه شیراز با کمک مالی

قطب علمی ویروس شناسی

** مسئول مکاتبه

۳۵۴ احمدی و همکاران: پراکنش و تنوع ژنتیکی جدایه های ویروس تریستزا مرکبات ...

ارزوئیه به ترتیب ۶، ۱۰، ۵۶ و ۴۵ درصد بود. نتایج حاصل از پی سی آر بیانگر تکثیر قطعات مورد انتظار (۶۷۲ و ۴۰۹ جفت باز به ترتیب برای ژن پروتئین پوششی و ناحیه K17 ژن پلیمراز) در اکثر جدایه ها بود. قطعات دی.ان.ای حاصل از پی سی آر جدایه های مختلف ویروس همسانه سازی و سپس تعیین تراالف گردیدند. مقایسه تراالف های بدست آمده با اطلاعات موجود در بانک ژن نشان داد که تراالف آمینو اسیدی و نوکلتوتیدی ژن پروتئین (seedling yellows) ژاپن (NUagA) و ساقه آبلهای (stem pitting) کالیفرنیا (SY568) شباهت بیشتری دارد. اما در شش جدایه استان کرمان (KBA, KG-9, KG-10, KG-11, KH-10, KS-7) علیرغم شباهت زیاد، تفاوت هایی نیز در چهار آمینو اسید ژن cp با سایر جدایه های کرمان، جدایه های دیگر کشور و سایر نقاط دنیا و از جمله دو جدایه ژاپن و کالیفرنیا وجود دارد و در دندروگرام تشکیل یک شاخه جداگانه را میدهند.

واژه های کلیدی: کلستروویروس، ویروس تریستزا، مرکبات، کرمان

مقدمه

مرکبات یکی از مهمترین محصولات کشاورزی است که در بسیاری از کشورهای دنیا تولید می شود و از نظر اقتصادی اهمیت دارد. بیماری ویروسی تریستزا، یکی از مخرب ترین بیماری هایی است که در طول تاریخ مرکبات از آن یاد شده و از دهه ۱۹۳۰ تا کنون اپیدمی های گسترده آن موجب نابودی ده ها میلیون اصله درخت در نقاط مختلف دنیا گردیده است (Rocha-Pena *et al.* 1995, Costa & Muller 1980). ویروس تریستزا مرکبات (Closteroviridae) متعلق به جنس *Closterovirus* از خانواده CTV (citrus tristeza virus, CTV) می باشد، این ویروس محدود به آوند آبکشی بوده و به صورت نیمه پایا توسط چند گونه شته انتقال می یابد. پیکره این ویروس از نوع میله ای خمینه پذیر به ابعاد حدود 12×2000 نانومتر می باشد. ژنوم CTV به صورت آر. ان. ای تک لای مثبت (ssRNA)، به طول حدود ۲۰ kb دارای ۱۲ چارچوب ژنی (open reading frame; ORF) است که قادر به بیان حداقل ۱۹ پروتئین می باشد (Ayillon *et al.* 2006, Sentandreu *et al.* 2006). با توجه به طولی بودن ژنوم، تا به حال

تنها ۱۰ جدایه ویروس به طور کامل تعیین ترادف شده اند (Ruiz-Ruiz *et al.* 2006) و عمده مطالعات مولکولی به بعضی از قسمت های ژنوم، به ویژه ژن پروتئین پوششی معطوف شده است (Pappu *et al.* 1993). ژن پروتئین پوششی در تعدادی از جدایه های CTV با منشأ جغرافیایی متفاوت، با روش RT-PCR تکثیر و مورد مقایسه قرار گرفته است (Roy *et al.* 2003, Mooney *et al.* 2000). همچنین مطالعات نشان داد که در جدایه های مختلف CTV، ترادف ژن های ناحیه^۵ ژنوم از تنوع بیشتری نسبت به ژن های واقع در انتهای^۳ (Roy *et al.* 2003, Roy & Bransky 2004).

تحقیقات انجام گرفته در ایران نیز که یکی از هفت کشور مهم تولید کننده مركبات در دنیا به شمار می رود حاکی از گسترش این ویروس در مناطق شمالی و جنوبی کشور می باشد (Ebrahimi *et al.* 1988, Rahimian 1994, Shafiee & Izadpanah 1996, Izadpanah *et al.* 2002). به علاوه بررسی هایی نیز در خصوص تنوع ژنتیکی CTV در ایران صورت گرفته است (Alavi *et al.* 2005, Barzegar *et al.*, 2005, 2006) در حالی که از وضعیت این ویروس و تنوع ژنتیکی جدایه های آن در استان کرمان که پس از استان های مازندران و فارس مقام سوم تولید را در کشور داراست، اطلاع چندانی در دست نمی باشد. در این تحقیق ضمن رדיابی ویروس تریستزا و تعیین پراکندگی آن با استفاده از آزمون الیز، تنوع ژنتیکی جدایه های مختلف آن مورد بررسی قرار گرفت. با توجه به تفاوت قابل ملاحظه در حفاظت ترادف نوکلئوتیدی دو نیمه ژنوم ویروس تریستزا (نیمه^۳ ژنوم بسیار حفاظت شده تر از نیمه^۵ ژنوم می باشد)، قسمت هایی از چهار چوب ژنی شماره یک واقع در نیمه^۵ ژنوم و چهار چوب ژنی شماره ۷ در نیمه^۳ ژنوم برای تکثیر و مطالعه تنوع ژنتیکی در جدایه های CTV کرمان انتخاب شدند. همچنین پارامترهای ژنتیکی شامل جایگزینی های مترادف (synonymous substitution) و نامترادف (nonsynonymous substitution) در جدایه های CTV مورد بررسی قرار گرفتند.

روش بررسی نمونه برداری

به منظور رדיابی ویروس CTV در استان کرمان، در فصول زمستان و بهار ۱۳۸۳-۸۴ از

چند منطقه مرکبات خیز بازدید بعمل آمده و از دو الى سه باغ مرکبات در هر منطقه که دارای درختانی با علائم مشکوک به CTV همچون زوال، زردی و خشکیدگی سرشاخه بودند، نمونه برداری بعمل آمد. دویست و سه نمونه از درختان پرتقال، نارنگی و لیمو شیرین که بر روی پایه های لیموترش و نارنج پیوند شده بودند از مناطق جیرفت، بم، ارزوئیه، حسین آباد و صوغان جمع آوری و به آزمایشگاه منتقل گردیدند.

سرولوژی

جهت تعیین آلدگی نمونه ها به CTV از آزمون الیزا با دو آنتی سرم محلی فارس و تجاری Bioreba به روش غیر مستقیم (Converse & Martin 1990) استفاده شد. از هر منطقه چند نمونه آلدوه انتخاب و پس از استخراج آر. ان. ای و ساخت سی دی . ان. ای در آزمون PCR مورد استفاده قرار گرفتند.

استخراج RNA و ساخت cDNA

استخراج آر. ان. ای کل از پوست ساقه و یا رگبرگ اصلی سیزده جدایه (جدول ۱) با استفاده از فنول و کلروفرم به روش هیلسنونز و همکاران (Hailstones *et al.* 2000) صورت گرفت. مقدار ۰/۲ گرم پوست ساقه آلدوه به CTV با استفاده از ازت مایع به صورت ۱۰۰ mM Tris-HCl pH 8.0, 2 mM EDTA , %2 TES بودر درآورده، سپس ۶۰ میکرولیتر بافر (SDS) و ۶۰ میکرولیتر فنول - کلروفرم (به نسبت مساوی) اضافه و پس از مخلوط کردن به مدت ۱۰ دقیقه در سرعت ۱۴۰۰۰ دور در دقیقه سانتریفیوژ شد. از ۴۰ میکرولیتر رونشین حاصل شده، با استفاده از ستون کروماتوگرافی حاوی سفادکس (Sephadex G50-80, Sigma-Alderich, Castle Hill, NSW) برای ساخت دی. ان. ای مکمل (cDNA)، ۱۴ میکرولیتر آر. ان. ای کل با ۳ میکرولیتر (10 μ M) آغازگر معکوس مخلوط و پس از ده دقیقه حرارت در دمای ۸۰ درجه سانتی گراد، بلافالسله به روی یخ قرار داده شد. به این مخلوط، ۶ میکرولیتر بافر RT (5x)، ۲ میکرولیتر دی تی تی ۱٪ مولار (0.1 M DTT)، ۲/۵ میکرولیتر مخلوط داکسی ریبونوکلئوتید تری فسفاتها ۱۰ میکرو مولار (dNTPs, 10 μ M)، آب مقطر استریل ۱/۷۵ میکرولیتر و ۷۵ میکرولیتر آنزیم Expand RT (Roche) اضافه گردید و سپس به مدت ۱۰ او ۴۵ دقیقه به ترتیب در درجه حرارت های ۳۰ و ۴۲ درجه سانتیگراد قرار داده شد. توقف واکنش با

قرار دادن مخلوط به مدت ۱۵ دقیقه در دمای ۷۲ درجه سانتی گراد انجام گرفت.
واکنش زنجیره ای پلیمراز (PCR)

واکنش PCR در حجم های ۲۵ میکرولیتری شامل ۸ میکرولیتر از محصول RT₋/۷۵ میکرولیتر از هر یک از آغازگرها (به غلظت ۱۰ میکرو مولار)، ۲/۵ میکرولیتر از بافر PCR (۱۰x)، ۷۵ میکرولیتر MgCl₂ (۲/۵ میلی مولار)، ۵ میکرولیتر از مخلوط نوکلئوتید تری فسفاتها (dNTPs) (۱۰ میکرو مولار) و ۲۵ میکرولیتر آنزیم Taq DNA polymerase (5U/μl) (سیناژن) انجام گرفت. واکنش زنجیره ای پلیمراز شامل یک مرحله واسرتته سازی اولیه به مدت ۳ دقیقه در دمای ۹۴ درجه سانتی گراد، ۳۵ چرخه شامل دمای ۹۴ درجه سانتی گراد به مدت ۱ دقیقه، ۵۶ درجه سانتی گراد به مدت ۱ دقیقه و ۷۲ درجه سانتی گراد به مدت ۱ دقیقه و یک مرحله نهایی به مدت ۱۰ دقیقه در ۷۲ درجه سانتی گراد صورت گرفت. قطعات تکثیر شده در ژل آگاروز ۱٪ الکتروفورز و با اتیدیوم بروماید رنگ آمیزی شدند. آغازگرهاشان در ژل آگاروز T36CP (CP) و T30K17 (ORF1a)(جدول ۲) که توسط هیلف و همکاران، بر اساس ترادف دو جدایه ویروس تریسترا از فلوریدا شامل T36 (ایجاد کننده زوال) و T30 (جدایه خفیف)، طراحی شده بودند (Hilf *et al.* 1999)، مورد استفاده قرار گرفتند.

همسانه سازی، تعیین ترادف و تجزیه و تحلیل ترادف ها

در نه جدایه از سیزده جدایه ای که به عنوان نماینده مناطق مختلف استان کرمان انتخاب شد (جدول ۱)، قطعات دی. ان. ای حاصل با استفاده از واکنش زنجیره ای پلیمراز (PCR) و آغازگرها T30K17 و T36cp تکثیر گردیدند، در پلاسمید pTZ57R/T وارد و در باکتری E. coli سویه DH5α همسانه سازی و توسط شرکت ماکروژن (سئول، کره جنوبی) از هر دو سمت تعیین ترادف شدند. از ترادف های بدست آمده برای جستجوی ترادف های مشابه موجود در بانک های اطلاعاتی با کمک نرم افزار بلاست استفاده گردید. از ترادف های CTV موجود در بانک ژن ، ۱۹ ترادف (جدول ۳) جهت مقایسه مورد استفاده قرار گرفتند و سپس با کمک نرم افزار PhyloDraw 0.8 (Graphics Application Lab, Pusan University) دندروگرام مربوطه رسم گردید. ترجمه ترادف نوکلئوتیدی به ترادف آمینواسیدی با استفاده از نرم افزار CLUSTAL-X DNA STAR صورت گرفت. همردیف سازی ترادفها با استفاده از نرم افزار Thompson *et al.* 1997) و برای تعیین درصد تشابه بین ترادفها از نرم انجام شد (

افزار MEGALINE از مجموعه نرم افزار DNASTAR استفاده گردید.

تخمین فاصله ژنتیکی ترادفها با استفاده از روش PBL ، توصیف شده توسط پامیلو و بیانچی (Pamilo & Bianchi 1993)، لی (Li 1993) و همچنین روش دو پارامتری کیمورا (Kimura 1980) انجام گردید. برای تخمین تنوع نوکلئوتیدی بین و درون جمعیت نیز از روش نی (Nei 1987) استفاده گردید. برای محاسبه پارامترهای ژنتیکی جمعیت از نرم افزار MEGA استفاده گردید. برای محاسبه پارامترهای ژنتیکی جمعیت از نرم افزار 3.1 استفاده شد.

نتیجه

پراکشن CTV در چهار منطقه استان کرمان

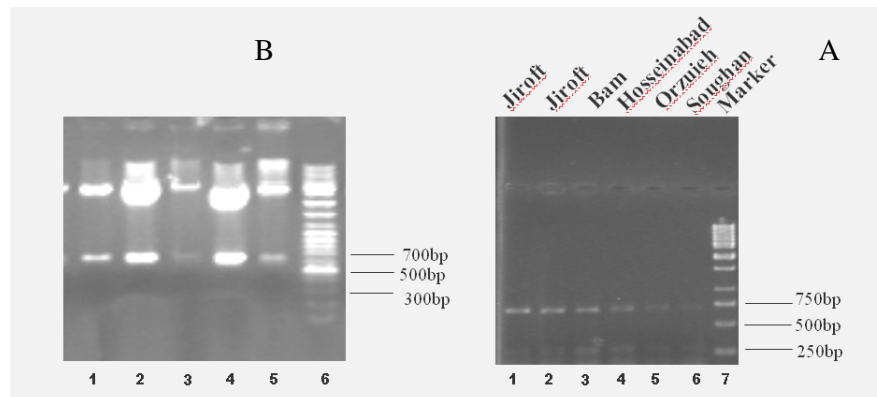
براساس آزمون الیزا از مجموع ۲۰۳ نمونه جمع آوری شده از باغ های مرکبات چهار منطقه مهم استان کرمان تعداد ۱۰۶ نمونه، بر اساس حد اقل واکنش با یکی از دو آنتی سرم مورد استفاده، به CTV آلووده تشخیص داده شدند (جدول ۴). چهار منطقه مورد مطالعه بین ۴۵ تا ۶۰ درصد به CTV آلووده بودند و آلووده ترین باغ های مرکبات با ۶۰ درصد آلوودگی، در منطقه جیرفت قرار داشتند.

استخراج آر. ان. ای کل و تکثیر دو ناحیه از ژنوم CTV

در این آزمون ژن پروتئین پوششی و قسمتی از ژن پلیمراز (ناحیه K17 در ORF 1a) به ترتیب با جفت آغازگرهای اختصاصی T30k17 و T36CP ، به ترتیب با دمای اتصال ۵۶ و ۵۵ درجه سانتی گراد ، تکثیر گردیدند (شکل های A و B). اندازه قطعات بدست آمده ۶۷۲ باز برای T36CP و ۴۰۹ باز برای T30K17 بود.

محصولات بدست آمده از PCR همسانه سازی و اصالت همسانه ها با آنزیمهای برشی EcoR I و Pst I تائید شد (شکل های ۱- B و -۲B). تعیین ترادف محصولات همسانه سازی شده نشان داد که ترادف های ژن CP25 دقیقاً بطول ۶۷۲ جفت باز و حاوی کدون های شروع و پایان ATG و TGA هستند و ترادف های مربوط به ناحیه K17 در ORF 1a بطول ۴۰۹ جفت باز می باشند. نه جدایه از ۱۳ جدایه مورد بررسی (جدول ۱) استان کرمان، با جفت آغازگرهای T30K17 و T36CP تکثیر و قطعه موردانه را تولید نمودند در حالی که علیرغم تلاش های زیاد چهار جدایه KG-4، KO-10، KBL12 و KH-27، با جفت آغازگر T36CP و چهار جدایه

BAM-12, BAM-26 KBL12 و KO-7 با آغازگر T30K17 تکثیر نگردیدند. ارتباط ترادف های بدست آمده با ژن های CP25 و ناحیه K17 در ORF 1a در ژنوم CTV با کمک نرم افزار بلاست تعیین گردید.

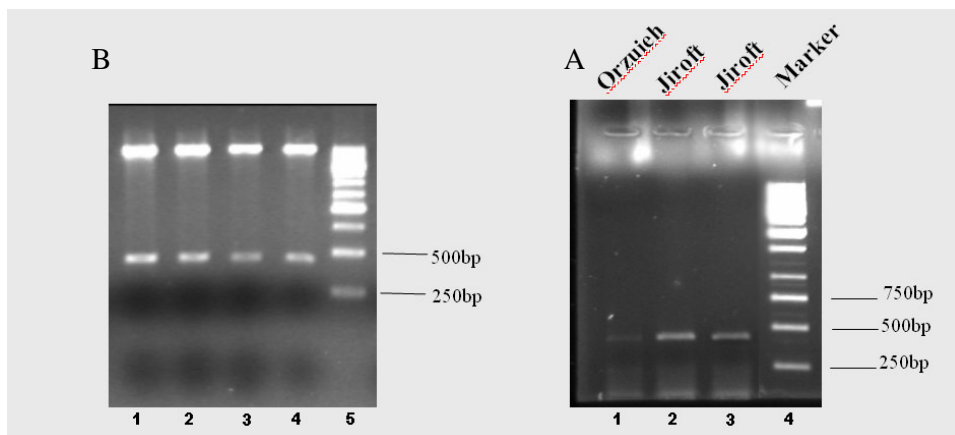


شکل ۱ - A) نتایج الکتروفورز محصول RT-PCR از ژنوم CTV جدایه های استان کرمان با آغازگر اختصاصی T36CP. B) الکتروفورز تعدادی از محصولات همسانه سازی شده مربوط به ژن CP پس از تیمار با آنزیم های برشی *Eco* RI و *Pst* I (راهک های ۱-۵)؛ راهک شماره ۶ نشانگر دی. ان. ای. یک کیلو باز.

Fig. 1. A) Electrophoresis pattern of RT-PCR products with citrus samples from Kerman province using, T36CP primer pair. B) Lane 1-5, electrophoresis pattern of some cloned PCR products of CTV-CP gene after treatment with *Eco* RI and *Pst* I restriction enzymes. Lane 6, 1kb DNA Marker.

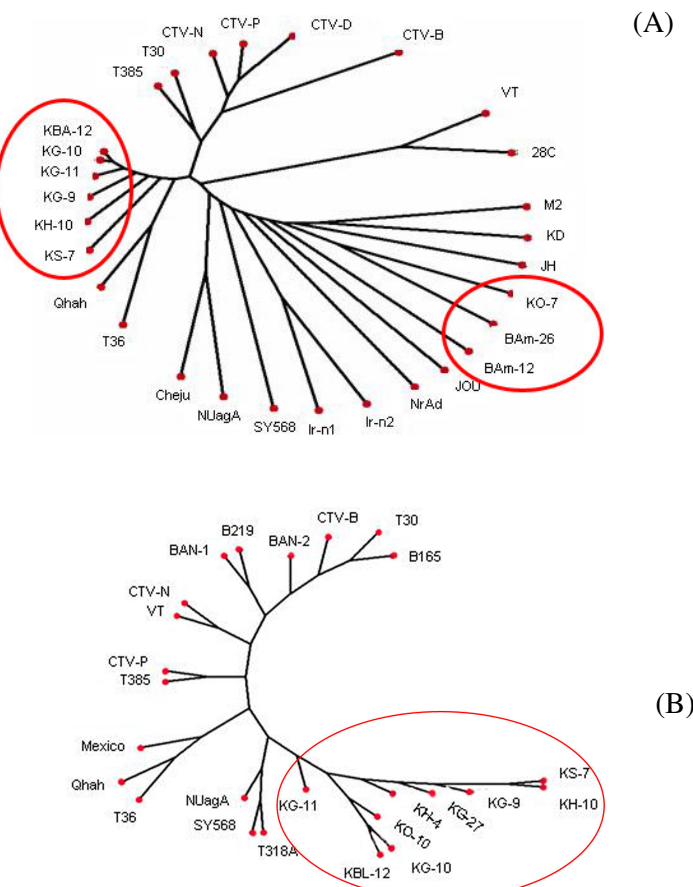
بررسی نوع ژنتیکی ویروس تریستزا در جدایه های استان کرمان براساس آنالیز هم ردیف‌سازی چندگانه (multiple sequence alignment) ترادف آمینو اسیدی پروتئین پوششی نه جدایه از ۱۳ جدایه استان کرمان که در PCR با آغازگر T36CP تکثیر گردیده بودند ، بیشترین شباهت (۹۶/۹٪ - ۹۸/۷٪) را با جدایه ساقه آبلهای کالیفرنیا (SY568) ، و جدایه زردی گیاهچه ژاپن (NUagA) ، (۹۶/۴٪ - ۹۸/۲٪) نشان دادند. در حالی که از نظر ناحیه K17 ژن پلیمراز بیشترین تشابه (۹۹/۳٪ - ۱۰۰٪) را با یک جدایه خفیف از

اسپانیا (T318A) و در درجه بعد با جدایه NUagA از ژاپن (۹۷/۸٪) و جدایه SY568 از کالیفرنیا (۹۶.۳٪) داشتند. دندروگرام مربوط به ژن CP و پلیمراز (شکل ۳) با استفاده از نرم افزار 3.1 Mega و بر اساس روش Neighbor-Joining رسم گردید (Saitou & Nei 1987). براساس آنالیز فیلوژنتیکی ترادف نوکلئوتیدی ژن CP، نه جدایه استان کرمان در دو گروه مجزا قرار گرفتند. جدایه های بم (KO7، Bam-12، Bam-26) و ارزوئیه (KS7) به همراه دو جدایه از شمال کشور (Alavi et al. 2005) و همچنین جدایه های KG9، T318A، Cheju، NUagA در یک گروه و شش جدایه دیگر استان کرمان شامل جدایه های حسین آباد (KH10)، جیرفت، Mexico، Qhan (KBA12) و صوغان (KG10، KG11) به همراه جدایه های T36 در گروه دیگر جای گرفتند.



شکل ۲-۱) نتایج الکتروفورز محصول RT-PCR از ژنوم CTV جدایه های استان کرمان با آغازگر اختصاصی T30K17. (B) راهک ۴-۱) الکتروفورز محصولات همسانه سازی شده مربوط به قسمتی از ژن پلیمراز (ناحیه ۱a در ORF1a) پس از تیمار با آنزیم های برشی EcoRI و *Pst*I راهک شماره ۶ نشانگر دی. ان. ای. یک کیلو باز.

Fig. 2. A) Electrophoresis pattern of RT-PCR products with citrus samples from Kerman province using CTV specific primer pair T30K17. B) Lane 1-5, electrophoresis pattern of cloned PCR products of a part of CTV polymerase gene after treatment with *Eco* RI and *Pst* I restriction enzymes. lane 6, 1kb DNA Marker.



شکل ۳- دندروگرام مربوط به مقایسه جدایه های CTV کرمان با جدایه های CTV موجود در بانک ژن بر اساس ترادف قطعه ۶۷۲ نوکلئوتیدی ژن CP (A) و قطعه ۴۰۹ نوکلئوتیدی ژن پلیمراز(B). برای کوتاهه ها رجوع شود به جدول ۳. جدایه های کرمان با دایره مشخص شده‌اند.

Fig. 3. Dendrogram showing the genetic relationships of Kerman's CTV isolates with other CTV isolates based on sequences of CP gene (A) and the K17 region of polymerase gene (B). See Table 3 for abbreviations. Kerman isolates of CTV are circled.

دندروگرام رسم شده برای ناحیه K17 در ORF 1a نیز نشان داد که از ۱۳ جدایه استان کرمان، نه جدایه‌ی (KBL-12, KG-10, KG-11, KO-10, KH-10, KH-4, KS-7 KG-10, KG9) که با آغازگر T30K17 تکثیر گردیدند، به همراه جدایه هایی از ژاپن (NUagA)، اسپانیا (T318A) و کالیفرنیا (SY568) در یک گروه جداگانه قرار گرفتند. در این گروه جدایه T318A اسپانیا بیشترین تشابه را با جدایه های کرمان نشان داد بطوری که در سطح آمینواسیدی با بعضی از این جدایه‌ها ۱۰۰ درصد تشابه داشت.

آنالیز هم‌دیف‌سازی چندگانه ترادف های آمینواسیدی CP نشان داد که شش جدایه استان کرمان شامل جدایه های حسین آباد (KH-10)، جیرفت (KG-9, KG-10, KG-11)، یک جدایه به (KBA-12) و صوغان (KS-7) در چهار آمینواسید باسایر جدایه های مورد مقایسه شامل دو جدایه (Bam-12, Bam-26)، یک جدایه ارزوئیه (KO-7)، سه جدایه شمال M2 (ir-n2, ir-n1)، سه جدایه جنوب (KD, Jou, Jh) و همچنین دوازده جدایه غیر ایرانی CTV متفاوت بودند. در شش جدایه مزبور، آمینواسید گلیسین در موقعیت ۴۹ با آمینواسید سرین، آمینواسید تیروزین در موقعیت ۶۸ با آمینواسید هیستیدین، و آمینواسید سرین در موقعیت‌های ۷۲ و ۱۱۵ با آمینواسید پروولین جایگزین شده بودند (شکل ۴).

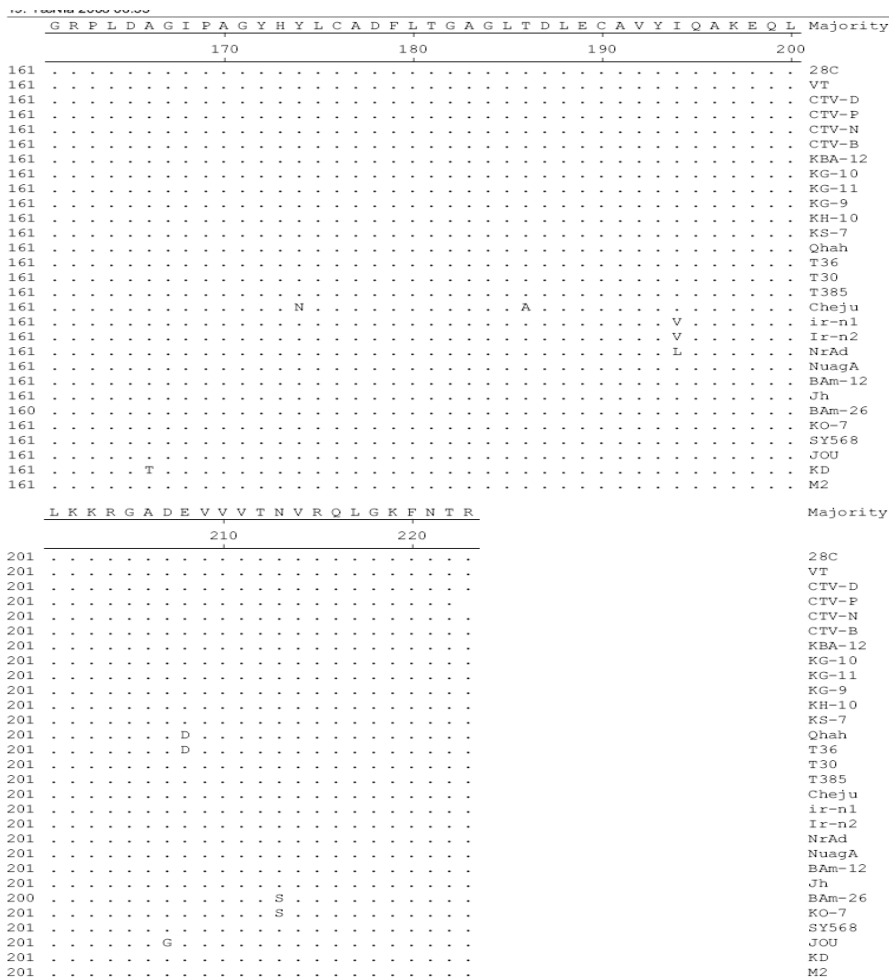
آنالیز پارامترهای ژنتیکی جدایه های کرمان

برای تخمین میزان فشار انتخاب بر روی هر یک از این دو ناحیه تعیین ترادف شده جایگزینی های مترادف (nonsynonymous substitution) و نامترادف (synonymous substitution) بطور جدایگانه محاسبه گردید. تعداد جایگزینی های مترادف (d_S) در هرجایگاه از ژن CP دامنه‌ای بین صفر تا ۰/۲۹ و میانگین ۰/۱۵ داشت. این مقادیر برای ژن پلیمراز بین صفر تا ۱/۶۷ و میانگین ۰/۳۹ محاسبه گردید. تعداد جایگزینی های نامترادف (d_N) در هرجایگاه از ژن CP دامنه‌ای بین صفر تا ۰/۰۳۱۴ و میانگین ۰/۰۱ داشت. این مقادیر برای ژن پلیمراز بین صفر تا ۰/۳۲۴ و میانگین همه جدایه‌ها ۰/۰۹۳۱ محاسبه گردید (جدول شماره ۵). نتایج این بررسی نشان داد که در هر دو ناحیه ژنومی تعداد جایگزینی نامترادف (d_N) کوچکتر از جایگزینی مترادف (d_S) بود (جدول شماره ۵).

۳۶۴ احمدی و همکاران: پراکنش و تنوع ژنتیکی جدایه های ویروس تریستزای مرکبات ...

19. TAFNIA 2008 UD-33

| | A M M L Y R L A V K S S S L Q S D D D T T G I T Y T R E G V E V D L S D K L W T | | | | | | | | | | | | | | Majority | |
|-----|---|---|---|---|-----|---|---|---|-----|---|---|---|-----|--------|----------|--|
| | 90 | | | | 100 | | | | 110 | | | | 120 | | | |
| 81 | . | . | . | . | . | . | . | . | . | . | . | . | E | . | 28C | |
| 81 | . | . | . | . | . | . | . | . | . | . | . | . | P | . | VT | |
| 81 | . | . | . | . | . | . | . | . | . | . | . | . | . | . | CTV-D | |
| 81 | . | . | . | . | . | . | . | . | . | . | . | . | . | . | CTV-P | |
| 81 | . | . | . | . | . | . | . | . | . | . | . | . | . | . | CTV-N | |
| 81 | . | . | . | . | . | . | . | . | . | . | . | . | . | . | CTV-B | |
| 81 | . | . | . | . | . | . | . | . | . | . | . | . | P | . | KBA-12 | |
| 81 | . | . | . | . | . | . | . | . | . | . | . | . | P | . | KG-10 | |
| 81 | . | . | . | . | . | . | . | . | . | . | . | . | P | . | KG-11 | |
| 81 | . | . | . | . | . | . | . | . | . | . | . | . | P | . | KG-9 | |
| 81 | . | . | . | . | . | . | . | . | . | . | . | . | P | . | KG-10 | |
| 81 | . | . | . | . | . | . | . | . | . | . | . | . | P | . | KS-7 | |
| 81 | . | . | . | . | . | . | . | . | A | . | . | . | . | . | Qhah | |
| 81 | . | . | . | . | . | . | . | . | A | . | . | . | . | . | T36 | |
| 81 | . | . | . | . | . | . | . | . | . | . | . | . | . | . | T30 | |
| 81 | . | . | . | . | . | . | . | . | . | . | . | . | . | . | T385 | |
| 81 | . | . | . | . | . | . | . | . | . | . | . | . | . | . | Cheju | |
| 81 | . | . | . | . | . | . | . | . | . | . | . | . | . | . | ir-n1 | |
| 81 | . | . | . | . | . | . | . | . | . | . | . | . | . | . | Ir-n2 | |
| 81 | . | . | . | . | . | . | . | . | . | . | . | . | . | . | NrAd | |
| 81 | . | . | . | . | . | . | . | . | . | . | . | . | . | . | NuagA | |
| 81 | . | . | . | . | . | . | . | . | . | . | . | R | . | BAm-12 | | |
| 81 | . | . | . | . | . | . | . | . | . | . | . | . | . | . | Jh | |
| 80 | . | . | . | . | . | . | . | . | . | . | . | . | . | . | BAm-26 | |
| 81 | . | . | . | . | . | . | . | . | . | . | . | . | F | . | KO-7 | |
| 81 | . | . | . | . | . | . | . | . | . | . | . | . | . | . | SY568 | |
| 81 | . | . | . | . | . | . | . | . | . | . | . | . | . | . | JOU | |
| 81 | . | . | . | . | . | . | . | . | . | . | . | . | . | . | KD | |
| 81 | . | . | . | . | . | . | . | . | . | . | . | . | . | . | M2 | |
| | D V V F N S K G I G N R T N A L R V W G R T N D A L Y L A F C R Q N R N L S Y G | | | | | | | | | | | | | | Majority | |
| | 130 | | | | 140 | | | | 150 | | | | 160 | | | |
| 121 | . | . | . | . | . | . | . | . | . | . | . | . | . | . | 28C | |
| 121 | . | . | S | . | . | . | . | . | . | . | . | . | A | . | VT | |
| 121 | . | . | . | . | . | . | . | . | . | . | . | . | . | . | CTV-D | |
| 121 | . | . | . | . | . | . | . | . | . | . | . | . | . | . | CTV-P | |
| 121 | . | . | . | . | . | . | . | . | . | . | . | . | . | . | CTV-N | |
| 121 | . | . | . | . | . | . | . | . | . | . | . | . | . | . | CTV-B | |
| 121 | . | . | . | . | . | . | . | . | . | . | . | . | . | . | KBA-12 | |
| 121 | . | . | . | . | . | . | . | . | . | . | . | . | . | . | KG-10 | |
| 121 | . | . | . | . | . | . | . | . | . | . | . | . | . | . | KG-11 | |
| 121 | . | . | . | . | . | . | . | . | . | . | . | . | . | . | KG-9 | |
| 121 | . | . | . | . | . | . | . | . | . | . | . | . | . | . | KG-10 | |
| 121 | . | . | . | . | . | . | . | . | . | . | . | . | . | . | KS-7 | |
| 121 | . | . | . | . | . | . | . | . | . | . | . | . | . | . | Qhah | |
| 121 | . | . | . | . | . | . | . | . | . | . | . | . | . | . | T36 | |
| 121 | . | I | Y | . | . | . | . | . | . | . | . | . | . | . | T30 | |
| 121 | . | I | Y | . | . | . | . | . | . | . | . | . | . | . | T385 | |
| 121 | . | . | . | . | . | . | . | . | S | S | . | . | . | . | Cheju | |
| 121 | . | . | . | . | . | . | . | . | S | . | . | . | . | . | ir-n1 | |
| 121 | . | . | . | . | . | . | . | . | S | . | . | . | . | . | Ir-n2 | |
| 121 | . | . | . | . | . | . | . | . | S | . | . | . | . | . | NrAd | |
| 121 | . | . | . | . | . | . | . | . | S | . | . | . | . | . | NuagA | |
| 121 | . | . | . | . | . | . | . | S | . | . | . | S | . | . | BAm-12 | |
| 121 | . | . | . | . | . | . | . | S | . | . | . | . | . | . | Jh | |
| 120 | . | . | . | . | . | . | . | S | . | . | . | . | . | . | BAm-26 | |
| 121 | . | . | . | . | . | . | . | S | . | . | . | . | . | . | KO-7 | |
| 121 | . | . | . | . | . | . | . | S | . | . | . | . | . | . | SY568 | |
| 121 | . | . | . | . | . | . | . | S | . | . | . | . | . | . | JOU | |
| 121 | . | . | . | . | . | . | . | S | . | . | . | . | . | . | KD | |
| 121 | . | . | . | . | . | . | . | S | . | . | . | . | . | . | M2 | |



شکل ۴- هم‌دیف‌سازی چند گانه ترادف آمینو اسیدی ژن پروتئین پوششی و ناحیه K17 ژن پلیمراز جدایه‌های کرمان و جدایه‌های بدست آمده از بانک ژن، آمینواسیدهای متفاوت با ترادفهای حفاظت شده نشان داده شده‌اند، نقطه‌ها نشان دهنده یکسانی آمینواسیدی می‌باشند.

Fig. 4. Amino acid sequence aligment of CP gene CTV isolates from Kerman province; Nucleotides that differ from consensus sequence are shown; dots indicate where sequence identity occurs.

جدول ۱- لیست جدایه های ویروس تریستزا، منبع و محل جمع آوری آن ها

Table 1. List of CTV isolates, their sources and sampling locations

| Kerman province CTV isolate جدایه های ویروس | Region ناحیه | Source منبع |
|--|-----------------|----------------|
| تریستزا در استان کرمان | | |
| KG-9 | Jiroft | SwO/NA |
| KG-10 | Jiroft | SwO/NA |
| KG-11 | Jiroft | SwO/NA |
| KG-27 | Jiroft | SwO/NA |
| KS-7 | Soghan | SwO/So |
| KO-10 | Orzueh | SwO/NA |
| KO-7 | Orzueh | SwO/NA |
| Bam-12 | Bam | SwO/So |
| Bam-26 | Bam | SwO/So |
| KBA-12 | Bam | SwO/So |
| KBL-12 | Bam | SwO/So |
| KH-4 | Hossein Abad | SwO/So |
| KH-10 | Hossein Abad | SwO/So |

SwO, sweet orange; SO, sour orange, NA, data not available

جدول ۲- آغازگرهای مورد استفاده در تکثیر ژن پروتئین پوششی و ناحیه K17 ژن پلی مراز

جدایه های ویروس تریستزا

Table 2. Oligonucleotide primers used in PCR amplification of cp gene and K17 region of polymerase gene in CTV isolates

| Primer آغازگر | PCR product size (bp) اندازه محصول | Orientation جهت | Position in genome موقعیت در ژنوم | Nucleotide sequences from 5' to 3' ترادف نوکلئوتیدی (۵' به ۳') |
|------------------|--|--------------------|--------------------------------------|---|
| T36CP | 672 | sense | 9996-9972 | 5' ATGGACGACGAAACAAAGAAATTG 3' |
| | | antisense | 9575-9596 | 5' TCAACGTGTGTTGAATTCCCA 3' |
| T30K17 | 409 | sense | 7048-7029 | 5' GTTGTGCGGCCCTAAAGTTGGCA 3' |
| | | antisense | 6711-6730 | 5' TATGACATCAAAAATAGCTGAA 3' |

جدول ۳ - ترادف های ژن پروتئین پوششی CTV موجود در بانک ژن که جهت آنالیز ترادفها مورد استفاده قرار گرفتهند

Table 3. CTV coat protein gene sequences from GeneBank used in sequence analysis

| CTV isolates جدایه ها | Country کشور | Accession number رس شمار بانک ژن |
|--------------------------|-----------------|-------------------------------------|
| T36 | FL, U.S.A. | U16304 |
| T30 | FL, U.S.A. | AF260651 |
| T385 | Spain | Y18420 |
| SY568 | CA, U.S.A. | AF001623 |
| P349 | Israel | U56902 |
| NuagA | Japan | AB046398 |
| Cheju | South Korea | AF249279 |
| 28C | Portugal | AF184118 |
| CTV-B | India | AF501867 |
| CTV-D | India | AF501868 |
| CTV-N | India | AF501869 |
| CTV-P | India | AF501870 |
| Ir.n.1 | Iran | AY608507 |
| Ir.n.2 | Iran | AY608508 |
| M2 | Iran | AY190048 |
| KD | Iran | AY803278 |
| JOU | Iran | AY803274 |
| Jh | Iran | AY803277 |
| NrAd | Iran | AY803276 |

جدول ۴ - تعداد درختان آزمایش شده از چهار منطقه استان کرمان و درصد آلدگی به CTV در نمونه های هر منطقه بر اساس نتایج آزمون الیزا

Table 4. Number of tested citrus samples and % CTV infection in samples from four citrus growing regions of Kerman province based on ELISA results

| Region منطقه | Orzueh ارزوئیه | Hossein Abad حسین آباد | Bam بم | Jiroft جیرفت |
|--|-------------------|---------------------------|-----------|-----------------|
| Total number of samples تعداد نمونه | 68 | 46 | 44 | 45 |
| No. of ELISA positive تعداد نمونه های مثبت در الیزا | 31 | 26 | 22 | 27 |
| % CTV infection درصد آلدگی | 45 | 56 | 50 | 60 |

۳۶۸ احمدی و همکاران: پراکنش و تنوع ژنتیکی جدایه های ویروس تریستزای مرکبات ...

جدول شماره ۵- میانگین تعداد جایگزینی نوکلئوتیدی در دو ناحیه کد شونده CP و ناحیه K17 در ORF 1a از استان کرمان CTV

Table 5. Average of nucleotide substitutions for CP and K17 region of CTV isolates from Kerman province

| sequence ترادف | *D | $d_N \times \times$ | *** d_S | d_N/d_S |
|-------------------------|------|---------------------|-----------|-----------|
| cp | 0.02 | 0.01 | 0.15 | 0.10 |
| پروتئین پوششی | | | | |
| K17 region of ORF1 | 0.14 | 0.093 | 0.39 | 0.23 |
| ژن k17 ناحیه پلیمراز | | | | |

D^* = تنوع نوکلئوتیدی: میانگین تعداد جایگزینی نوکلئوتیدی هر جایگاه در بین ترادف ها؛ $* (d_N)$ میانگین

تعداد جایگزینی های نامترادف در جایگاه های نامترادف؛ $** (d_S)$ میانگین تعداد جایگزینی های مترادف در هر

جایگاه؛ d_N/d_S میانگین نسبت بین جایگزینی های مترادف و نامترادف برای هر جفت از مقایسات. برای محاسبه

.(Li 1993, Pamilo and Bianchi 1993) از روش PBL استفاده گردید d_N و d_S , d_N/d_S

D= Nucleotide variation: average nucleotide substitution per site; d_S = average number of synonymous substitutions pr site; d_N = average number of non-synonymous substitutions pr site; d_S and d_N are calculated by the PBL method (Li 1993, Pamilo and Bianchi 1993).

بحث

نتایج این تحقیق که بر روی ۲۰۳ نمونه مرکبات صورت گرفت نشان داد که ویروس

تریسترا در مناطق مورد مطالعه در استان کرمان که یکی از مناطق مهم تولید مرکبات در کشور می باشد بطور وسیعی پراکنده است. بیشترین آводگی (۶۰ درصد) به منطقه جیرفت و کمرتین آводگی (۴۵ درصد) به منطقه ارزوئیه تعلق داشت.

جهت و فشار انتخاب موثر بر نواحی کد کننده پروتئین با استفاده از نسبت تنوع نوکلئوتیدی بین جایگزینی های نامترادف به جایگزینی های مترادف ($d_{s/dN}$) محاسبه می گردد (Nei & Gojobori 1986, Nei 1987, Yang & Bielawski 2000). نتایج این تحقیق مبنی بر کمتر بودن تعداد جایگزینی نامترادف (d_N) نسبت به جایگزینی مترادف (d_s) در هر دو ناحیه ژنومی مورد مطالعه (جدول ۵)، بیانگر وجود فشار منفی انتخاب و در نتیجه جلوگیری از تغییرات زیاد در آمینواسیدهای این پروتئین ها می باشد. نکته قابل توجه این است که فشار منفی انتخاب در ژن CP نسبت به ناحیه دیگر بیشتر می باشد که این تفاوت می تواند بدلیل اختلاف در عملکرد پروتئین های کد شده توسط این نواحی باشد. روبيو و همکاران (Rubio *et al.* 2001) نیز نشان دادند که برای نواحی کد کننده پروتئین پوششی و پروتئین متیل ترانسفراز که در تکثیر ویروس موثر است فشار انتخاب منفی وجود دارد. بین این دو ناحیه بیشترین فشار عملکردی (functional constraints) مربوط به ژن پروتئین پوششی بود که کمترین مقدار نسبت ($d_{s/dN}$) را دارا بود. این امر به نقش های مهم این پروتئین نسبت داده شده است (Rubio *et al.* 2001).

مطالعات انجام شده نشان داده است که اکثر جدایه های شدید تریسترا و از جمله جدایه های شدید شمال ایران دارای یک آمینواسید فنیل آلانین در موقعیت ۱۲۴ و یک آمینواسید والین در موقعیت ۱۲۲ می باشند (Roy *et al.* 2003, Roy & Bransky 2004, Barzegar et al. 2006). بررسی های انجام شده در این تحقیق نشان داد که تمام جدایه های استان کرمان دارای اسید امینه والین و نیز فنیل آلانین به ترتیب در موقعیت های ۱۲۲ و ۱۲۴ می باشند. اگرچه اکثر درختانی که جهت نمونه برداری انتخاب شدند علائم ضعف و زوال نسبتاً شدیدی را نشان می دادند لکن با توجه به اینکه در این تحقیق ویژگی های بیولوژیکی جدایه ها مورد بررسی قرار نگرفت، نمی توان بطور قطع وجود این دو آمینواسید را در موقعیت های ذکر شده با شدید بودن جدایه ها مرتبط دانست، بعلاوه برخی از جدایه های خفیف نیز دارای اسید

امینه فنیل آلانین در موقعیت ۱۲۴ بوده و با آنتی سرم MCA-13 واکنش نشان داده اند (Kano *et al.* 1998). این مطالعات همچنین نشان داد که اگر چه اکثر جدایه های مورد مطالعه با آغازگر T36CP که یک آغازگر عمومی برای ژن پروتئین پوششی می باشد (Hilf & Garnsey 2000, Hilf *et al.* 1999) مذکور تکثیر نگردیدند. وضعیت مشابهی نیز در مورد قطعه ۴۰۹ نوکلئوتیدی ژن پلیمراز وجود داشت که در آن بعضی از جدایه های مورد مطالعه علیرغم تلاش های زیاد، با آغازگر اختصاصی تکثیر نگردیدند. این امر بیانگر آن است که احتمالاً بعضی از جدایه ها دارای تنوع نوکلئوتیدی بیشتری هستند به نحوی که مانع از تکثیر آن ها با آغازگر های معمول این نواحی شده است. ترادف آمینو اسیدی و نوکلئوتیدی ژن پروتئین پوششی و قسمتی از ژن پلیمراز (ناحیه K17 در ORF 1a) جدایه های کرمان به ترادف جدایه های زردی گیاهچه (seedling yellows) از ژاپن (NUagA) و ساقه آبله ای (stem pitting) از کالیفرنیا (SY568) شباهت داشتند. از سوی دیگر مقایسه ترادف آمینو اسیدی جدایه های مورد مطالعه و جدایه های بدست آمده از بانک ژن نشان داد که به استثناء جدایه KO-7 و دو جدایه بهم (Bam-12, Bam-26)، شش جدایه دیگر استان کرمان در چهار آمینو اسید (موقعیت های ۱۱۵، ۶۸، ۷۲، ۴۹، در cp)، تفاوت های مشخصی با جدایه های جنوب و شمال کشور و نیز سایر نقاط دنیا داشتند و حتی با جدایه های ژاپن (NUagA) و کالیفرنیا (SY568) نیز متفاوت بودند. به علاوه در شش جدایه مذکور در موقعیت ۱۴۲، آمینو اسید سرین وجود دارد در صورتی که در سایر جدایه های کرمان، جنوب و شمال کشور شامل ir-n1, ir-n2, NrAd, Bam-12, Jh, KD, Bam-26, KO-7, JOU, M2 کالیفرنیا (SY568) در این موقعیت اسید امینه آرژینین وجود دارد. به همین دلیل در دندروگرام، این شش جدایه استان کرمان همگی در یک گروه جداگانه قرار گرفتند. بنابر این بر اساس این مطالعه، علیرغم شباهت زیاد جدایه های استان کرمان به جدایه های ژاپن (NUagA) و کالیفرنیا (SY568)، بطور کامل با آن ها یکسان نبوده و تفاوت های چندی نیز دارند. چنین شرایطی در مورد چهار جدایه هندی نیز گزارش گردیده است. این چهار جدایه که ژن پروتئین پوششی آنها شباهت بسیار زیادی (۹۶-۹۸٪) با جدایه SY568 (۹۸-۹۶٪) و نیز جدایه

NUagA (۹۵-۹۷٪) داشت، در درخت فیلوژنتیکی در یک دسته جدگانه ای قرار گرفتند (Roy *et al.* 2003). به نظر میرسد که یکی از دلایل شباهت جدایه های کرمان با جدایه های کالیفرنیا و ژاپن، ورود مركبات از این نقاط به ترتیب در سال های ۱۳۴۲ و ۱۳۴۷ به ایران باشد. در مجموع به نظر می رسد که ویروس CTV از دیر باز در ایران وجود داشته است، اما با واردات انواع مركبات از مناطق مختلف دنیا بویژه کالیفرنیا و ژاپن، ژنوتیپ های مختلف CTV نیز به ایران وارد شده و در طی سال ها مجاورت به صورت ترکیبی از ژنوتیپ های مختلف در آمده اند. با توجه به سن بالای درختان مركبات و امکان انتقال ژنوتیپ های مختلف ویروس از طریق پیوند و یا حشرات ناقل، تجمع ژنوتیپ های متنوع در طی زمان و تغییرات احتمالی در اثر انتقال توسط شته های ناقل و اثر گیاهان میزبان، دور از انتظار نمی باشد (Ayllon *et al.* 2006). همچنین موضوع مهاجرت جدایه های CTV در بین مناطق جغرافیایی دور از هم، در دنیا از طریق مواد گیاهی آلوده، در مطالعات متعدد مورد تأکید قرار گرفته است (Rubio *et al.* 2001, Roistacher & Moreno 1991).

لازم به ذکر است که گرچه بهترین راه جهت مطالعه تنوع ژنتیکی استفاده از ژنوم کامل می باشد اما با توجه به طویل بودن ژنوم ویروس تریستزا، تعیین ترادف کامل ژنوم بسیار مشکل و وقت گیر است. بنا بر این علیرغم این که در ژنوم CTV، بیشترین مطالعه در مورد ژن پروتئین پوششی صورت گرفته است اما به نظر می رسد که استفاده از چندین ناحیه از ژنوم برای بررسی تغییرات ژنتیکی مفید تر باشد زیرا که این روش قادر است تصویر بهتری از کل ژنوم را ارائه نماید (Roy & Bransky 2004).

منابع

جهت ملاحظه به صفحات (131-134) متن انگلیسی مراجعه شود.

آدرس نگارندها: سمیه احمدی، علیرضا افشاریفر و کرامت الله ایزدپناه، شیراز، بخش گیاهپزشکی، علی نیازی، پژوهشکده بیوتکنولوژی، دانشکده کشاورزی، دانشگاه شیراز